

# Convergence de grandes triangulations en pile

Marie Albenque et Jean-François Marckert

LIX – LABRI

Séminaire de probabilités de Versailles – 16 février 2010

# Plan

Introduction

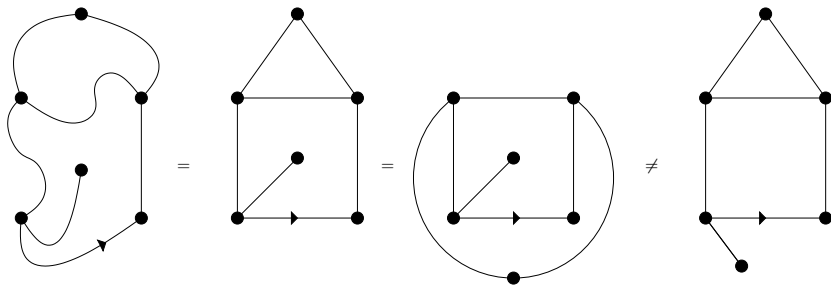
Triangulations en pile sous la loi uniforme

Sous la loi historique

Convergence locale

## Cartes planaires

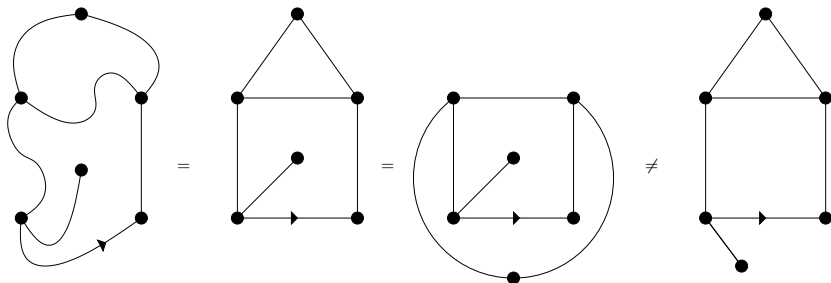
Carte planaire = graphe planaire connexe plongé proprement dans la sphère à homéomorphisme direct près



Carte **enracinée** : une arête orientée est distinguée.

## Cartes planaires

Carte planaire = graphe planaire connexe plongé proprement dans la sphère à homéomorphisme direct près



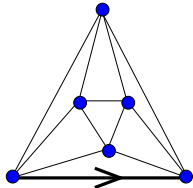
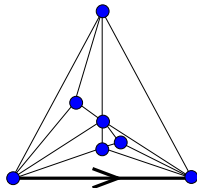
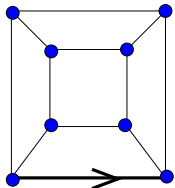
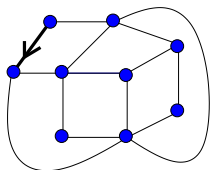
Carte **enracinée** : une arête orientée est distinguée.

## Cartes et faces

Faces = composantes connexes de la sphère privée des arêtes de la carte.

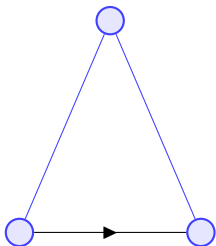
Triangulation = toutes les faces sont de degré 3.

Quadrangulation = toutes les faces sont de degré 4.



## Réseaux apolloniens aléatoires – Triangulations en pile

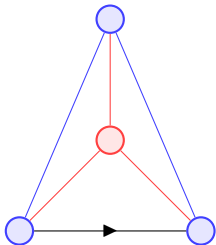
Les **triangulations en pile** = triangulations obtenues de manière récursive :



$\Delta_{2k}$  = ensemble des triangulations en pile à  $2k$  faces.

## Réseaux apolloniens aléatoires – Triangulations en pile

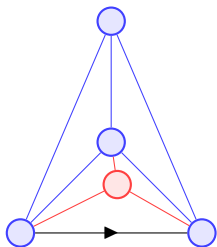
Les **triangulations en pile** = triangulations obtenues de manière récursive :



$\Delta_{2k}$  = ensemble des triangulations en pile à  $2k$  faces.

# Réseaux apolloniens aléatoires – Triangulations en pile

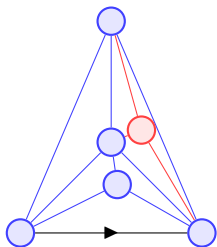
Les **triangulations en pile** = triangulations obtenues de manière récursive :



$\Delta_{2k}$  = ensemble des triangulations en pile à  $2k$  faces.

## Réseaux apolloniens aléatoires – Triangulations en pile

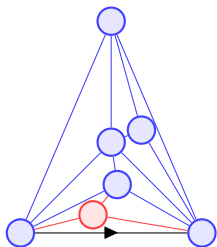
Les **triangulations en pile** = triangulations obtenues de manière récursive :



$\Delta_{2k}$  = ensemble des triangulations en pile à  $2k$  faces.

# Réseaux apolloniens aléatoires – Triangulations en pile

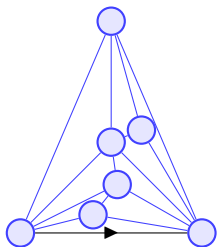
Les **triangulations en pile** = triangulations obtenues de manière récursive :



$\Delta_{2k}$  = ensemble des triangulations en pile à  $2k$  faces.

## Réseaux apolloniens aléatoires – Triangulations en pile

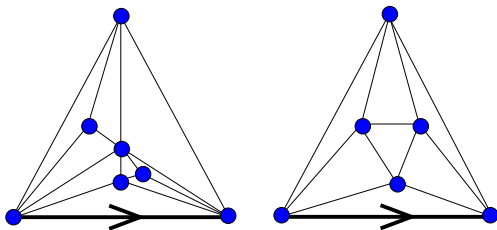
Les **triangulations en pile** = triangulations obtenues de manière récursive :



$\Delta_{2k}$  = ensemble des triangulations en pile à  $2k$  faces.

# Triangulations en pile vs Triangulations

{triangulations en pile}  $\subsetneq$  {triangulations générales}



# Convergence de grandes cartes aléatoires

- **Grandes**? Nombre de sommets tend vers l'infini.
- Aléatoires? Pour quelle loi?
- Convergence? Pour quelle topologie?

[Angel et Schramm, 03], [Chassaing et Schaeffer, 04],  
[Bouttier, Di Francesco, Guitter, 04], [Chassaing et Durhuss, 06],  
[Marckert et Mokraddem, 06], [Miermont, 06], [Marckert et  
Miermont, 07], [Le Gall, 07], [Le Gall et Paulin, 08], [Miermont et  
Weill, 08], [Chapuy, 08], [Bouttier et Guitter, 08], [Le Gall, 08]

# Convergence de grandes cartes aléatoires

- Grandes ? Nombre de sommets tend vers l'infini.
- **Aléatoires** ? Pour quelle loi ?
- Convergence ? Pour quelle topologie ?

[Angel et Schramm, 03], [Chassaing et Schaeffer, 04],  
[Bouttier, Di Francesco, Guitter, 04], [Chassaing et Durhuss, 06],  
[Marckert et Mokkadem, 06], [Miermont, 06], [Marckert et  
Miermont, 07], [Le Gall, 07], [Le Gall et Paulin, 08], [Miermont et  
Weill, 08], [Chapuy, 08], [Bouttier et Guitter, 08], [Le Gall, 08]

## Convergence de grandes cartes aléatoires

- Grandes ? Nombre de sommets tend vers l'infini.
- Aléatoires ? Pour quelle loi ?
- **Convergence** ? Pour quelle topologie ?

[Angel et Schramm, 03], [Chassaing et Schaeffer, 04],  
[Bouttier, Di Francesco, Guitter, 04], [Chassaing et Durhuss, 06],  
[Marckert et Mokraddem, 06], [Miermont, 06], [Marckert et  
Miermont, 07], [Le Gall, 07], [Le Gall et Paulin, 08], [Miermont et  
Weill, 08], [Chapuy, 08], [Bouttier et Guitter, 08], [Le Gall, 08]

## Convergence de grandes cartes aléatoires

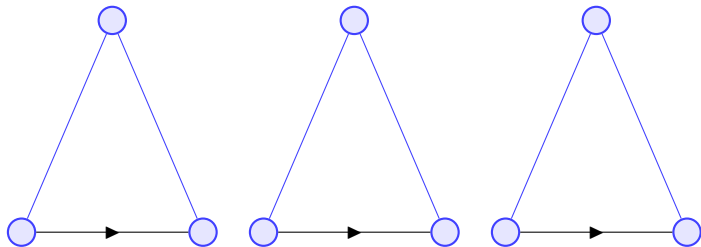
- Grandes ? Nombre de sommets tend vers l'infini.
- Aléatoires ? Pour quelle loi ?
- Convergence ? Pour quelle topologie ?

[Angel et Schramm, 03], [Chassaing et Schaeffer, 04],  
[Bouttier, Di Francesco, Guitter, 04], [Chassaing et Durhuss, 06],  
[Marckert et Mokraddem, 06], [Miermont, 06], [Marckert et  
Miermont, 07], [Le Gall, 07], [Le Gall et Paulin, 08], [Miermont et  
Weill, 08], [Chapuy, 08], [Bouttier et Guitter, 08], [Le Gall, 08]

## Deux lois de probabilités

On note  $\Delta_{2k}$  l'ensemble des triangulations en pile à  $2k$  faces.  
Deux lois de probabilités sont naturelles pour étudier les triangulations de  $\Delta_{2k}$  :

- la loi uniforme, notée  $\mathbb{U}_{2k}^{\Delta}$ ,

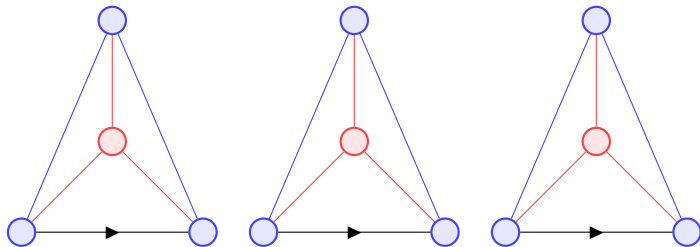


- la loi "historique", notée  $\mathbb{H}_{2k}^{\Delta}$ , où chaque carte a une probabilité d'apparaître proportionnelle à son nombre d'histoires.

## Deux lois de probabilités

On note  $\Delta_{2k}$  l'ensemble des triangulations en pile à  $2k$  faces.  
Deux lois de probabilités sont naturelles pour étudier les triangulations de  $\Delta_{2k}$  :

- la loi uniforme, notée  $\mathbb{U}_{2k}^{\Delta}$ ,

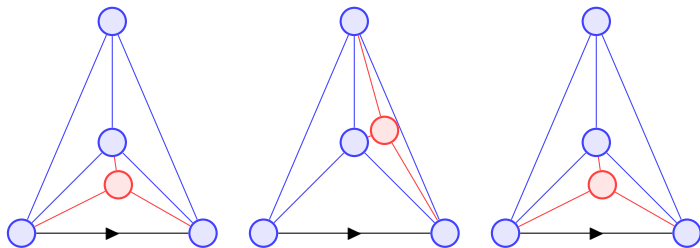


- la loi "historique", notée  $\mathbb{H}_{2k}^{\Delta}$ , où chaque carte a une probabilité d'apparaître proportionnelle à son nombre d'histoires.

## Deux lois de probabilités

On note  $\Delta_{2k}$  l'ensemble des triangulations en pile à  $2k$  faces.  
Deux lois de probabilités sont naturelles pour étudier les triangulations de  $\Delta_{2k}$  :

- la loi uniforme, notée  $\mathbb{U}_{2k}^\Delta$ ,

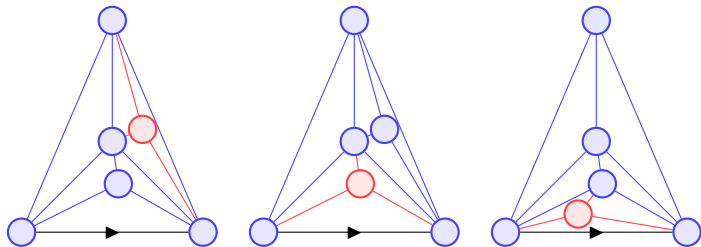


- la loi “historique”, notée  $\mathbb{H}_{2k}^\Delta$ , où chaque carte a une probabilité d’apparaître proportionnelle à son nombre d’histoires.

## Deux lois de probabilités

On note  $\Delta_{2k}$  l'ensemble des triangulations en pile à  $2k$  faces.  
Deux lois de probabilités sont naturelles pour étudier les triangulations de  $\Delta_{2k}$  :

- la loi uniforme, notée  $\mathbb{U}_{2k}^{\Delta}$ ,

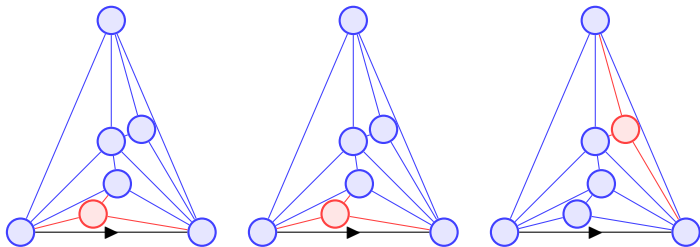


- la loi "historique", notée  $\mathbb{H}_{2k}^{\Delta}$ , où chaque carte a une probabilité d'apparaître proportionnelle à son nombre d'histoires.

## Deux lois de probabilités

On note  $\Delta_{2k}$  l'ensemble des triangulations en pile à  $2k$  faces.  
Deux lois de probabilités sont naturelles pour étudier les triangulations de  $\Delta_{2k}$  :

- la loi uniforme, notée  $\mathbb{U}_{2k}^{\Delta}$ ,

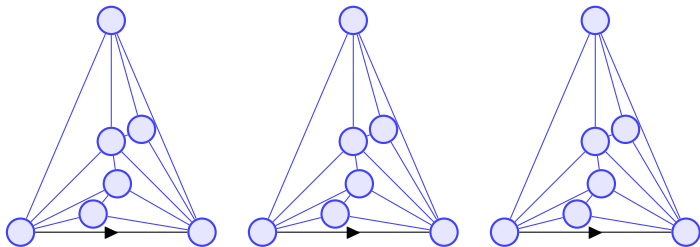


- la loi "historique", notée  $\mathbb{H}_{2k}^{\Delta}$ , où chaque carte a une probabilité d'apparaître proportionnelle à son nombre d'histoires.

## Deux lois de probabilités

On note  $\Delta_{2k}$  l'ensemble des triangulations en pile à  $2k$  faces.  
Deux lois de probabilités sont naturelles pour étudier les triangulations de  $\Delta_{2k}$  :

- la loi uniforme, notée  $\mathbb{U}_{2k}^\Delta$ ,

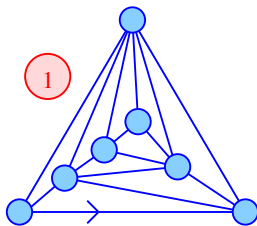
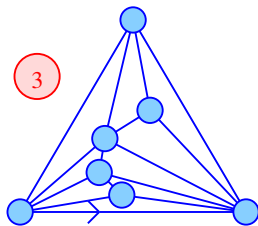


- la loi "historique", notée  $\mathbb{H}_{2k}^\Delta$ , où chaque carte a une probabilité d'apparaître proportionnelle à son nombre d'histoires.

## Deux lois de probabilités

On note  $\Delta_{2k}$  l'ensemble des triangulations en pile à  $2k$  faces. Deux lois de probabilités sont naturelles pour étudier les triangulations de  $\Delta_{2k}$  :

- la loi uniforme, notée  $\mathbb{U}_{2k}^\Delta$ ,



- la loi "historique", notée  $\mathbb{H}_{2k}^\Delta$ , où chaque carte a une probabilité d'apparaître proportionnelle à son nombre d'histoires.

## Résultats sur les triangulations en pile aléatoires

Sous  $\mathbb{H}_{2k}^\Delta$ ,

- Étude du degré d'un sommet et de l'espérance de la distance entre deux points.  
[Zhou et al., 05], [Zhang et al., 06], [Zhang et al., 08]

Sous  $\mathbb{U}_{2k}^\Delta$ ,

- Étude du degré d'un sommet [Darasse et Soria, 07]
- Distribution limite de la distance entre deux sommets [Bodini, Darasse, Soria, 08]

## Résultats sur les triangulations en pile aléatoires

Sous  $\mathbb{H}_{2k}^\Delta$ ,

- Étude du degré d'un sommet et de l'espérance de la distance entre deux points.  
[Zhou et al., 05], [Zhang et al., 06], [Zhang et al., 08]

Sous  $\mathbb{U}_{2k}^\Delta$ ,

- Étude du degré d'un sommet [Darasse et Soria, 07]
- Distribution limite de la distance entre deux sommets [Bodini, Darasse, Soria, 08]

Triangulations en pile		Quadrangulations loi uniforme
loi uniforme	loi historique	

Quelle notion  
de convergence ?

## Deux notions de convergence : convergence locale

$B_m(r)$  = boule de rayon  $r$  centrée en la racine de  $m$ .

### Definition

Soient  $m$  et  $m'$  deux cartes de  $\mathcal{M}$ , la distance locale entre  $m$  et  $m'$  est :

$$d_L(m, m') = \inf \left\{ \frac{1}{1+r} \text{ où } B_m(r) \sim B_{m'}(r) \right\},$$

Convergence locale = Convergence des **boules** centrées en la racine.

		Triangulations en pile		Quadrangulations loi uniforme
		loi uniforme	loi historique	
Convergence locale		cvg en loi vers une loi portée par des trig. $\infty$	Pas de convergence	Angel et Schramm, 03 Chassaing et Durhuss, 06

## Deux notions de convergence : convergence globale

Nombre de sommets tend vers l'infini

⇒ distance entre deux sommets tend vers l'infini.

Pour étudier le comportement global de la carte,  
il faut la renormaliser :

Longueur d'une arête = fonction du nombre de sommets.

## Deux notions de convergence : convergence globale

Nombre de sommets tend vers l'infini

⇒ distance entre deux sommets tend vers l'infini.

Pour étudier le comportement **global** de la carte,  
il faut la renormaliser :

Longueur d'une arête = fonction du nombre de sommets.

	Triangulations en pile		Quadrangulations loi uniforme
	loi uniforme	loi historique	
Convergence locale	cvg en loi vers 1 loi portée par des triangulations infinies	Pas de convergence	Angel-Schramm, 03 Chassaing-Durhuss, 06
Convergence renormalisée			Chassaing-Schaeffer, 04 Marckert-Mokkadem, 06 Le Gall, 07 Le Gall-Paulin, 08

	Triangulations en pile		Quadrangulations loi uniforme
	loi uniforme	loi historique	
Convergence locale	cvg en loi vers 1 loi portée par des triangulations infinies	Pas de convergence	Angel-Schramm, 03 Chassaing-Durhuss, 06
Convergence renormalisée	?		Chassaing-Schaeffer, 04 Marckert-Mokkadem, 06 Le Gall, 07 Le Gall-Paulin, 08

## Résultats principaux sur les cartes planaires “générales”

Résultats sans renormalisation = “convergence des boules”

- Angel & Schramm (2003) : convergence locale des triangulations enracinées sous la loi uniforme.
- Chassaing & Durhuus (2006) : même résultat pour les quadrangulations.

Résultats avec renormalisation en  $n^{1/4}$

- Chassaing & Schaeffer (2004) : convergence du profil pour les quadrangulations enracinées.
- Marckert & Mokkadem (2006) : même renormalisation, convergence en un sens faible des quadrangulations vers la *carte brownienne*.
- Le Gall (2007) : convergence en tant qu'espace métrique au sens de Gromov-Hausdorff vers un espace métrique compact mais uniquement le long d'une sous-suite. La dimension de Hausdorff de l'espace limite est 4.
- Le Gall & Paulin (2008) : l'espace limite a la même topologie que la sphère.

## Résultats principaux sur les cartes planaires “générales”

Résultats sans renormalisation = “convergence des boules”

- Angel & Schramm (2003) : convergence locale des triangulations enracinées sous la loi uniforme.
- Chassaing & Durhuus (2006) : même résultat pour les quadrangulations.

Résultats avec renormalisation en  $n^{1/4}$

- Chassaing & Schaeffer (2004) : convergence du profil pour les quadrangulations enracinées.
- Marckert & Mokkadem (2006) : même renormalisation, convergence en un sens faible des quadrangulations vers la *carte brownienne*.
- Le Gall (2007) : convergence en tant qu'espace métrique au sens de Gromov-Hausdorff vers un espace métrique compact mais uniquement le long d'une sous-suite. La dimension de Hausdorff de l'espace limite est 4.
- Le Gall & Paulin (2008) : l'espace limite a la même topologie que la sphère.

# Le Théorème

## Théorème (A. , Marckert '08)

Sous  $\mathbb{U}_{2n}^\Delta$ ,

$$\left( m_n, \frac{D_{m_n}}{(2/11)\sqrt{3n/2}} \right) \xrightarrow[n]{(d)} (\mathcal{T}_{2e}, d_{2e}),$$

pour la topologie de Gromov-Hausdorff sur les espaces métriques compacts,

où  $(\mathcal{T}_{2e}, d_{2e}) = \text{arbre continu d'Aldous}$ .

# Le Théorème

## Théorème (A. , Marckert '08)

Sous  $\mathbb{U}_{2n}^\Delta$ ,

$$\left( m_n, \frac{D_{m_n}}{(2/11)\sqrt{3n/2}} \right) \xrightarrow[n]{(d)} (\mathcal{T}_{2e}, d_{2e}),$$

pour la topologie de **Gromov-Hausdorff** sur les espaces métriques compacts,

où  $(\mathcal{T}_{2e}, d_{2e}) = \text{arbre continu d'Aldous}$ .

# Le Théorème

## Théorème (A. , Marckert '08)

Sous  $\mathbb{U}_{2n}^\Delta$ ,

$$\left( m_n, \frac{D_{m_n}}{(2/11)\sqrt{3n/2}} \right) \xrightarrow[n]{(d)} (\mathcal{T}_{2e}, d_{2e}),$$

pour la topologie de *Gromov-Hausdorff* sur les espaces métriques compacts,

où  $(\mathcal{T}_{2e}, d_{2e}) = \text{arbre continu d'Aldous}$ .

# Le Théorème

## Théorème (A. , Marckert '08)

Sous  $\mathbb{U}_{2n}^\Delta$ ,

$$\left( m_n, \frac{D_{m_n}}{(2/11)\sqrt{3n/2}} \right) \xrightarrow[n]{(d)} (\mathcal{T}_{2e}, d_{2e}),$$

pour la topologie de *Gromov-Hausdorff* sur les espaces métriques compacts,

où  $(\mathcal{T}_{2e}, d_{2e}) = \text{arbre continu d'Aldous}$ .

## Distance de Gromov-Hausdorff

Distance de Hausdorff entre  $X, Y$  compacts de  $(E, d)$  :

$$d_H(X, Y) = \max\left\{\sup_{x \in X} \inf_{y \in Y} d(x, y), \sup_{y \in Y} \inf_{x \in X} d(x, y)\right\}$$

Distance de *Gromov-Hausdorff* entre  $E$  et  $F$  métriques compacts :

$$d_{GH}(E, F) = \inf d_H(\phi(E), \psi(F))$$

$M$  espace métrique

$\phi : E \rightarrow M$  isométrie

$\psi : F \rightarrow M$  isométrie

## Distance de Gromov-Hausdorff

Distance de Hausdorff entre  $X, Y$  compacts de  $(E, d)$  :

$$d_H(X, Y) = \max\left\{\sup_{x \in X} \inf_{y \in Y} d(x, y), \sup_{y \in Y} \inf_{x \in X} d(x, y)\right\}$$

Distance de *Gromov-Hausdorff* entre  $E$  et  $F$  métriques compacts :

$$d_{GH}(E, F) = \inf d_H(\phi(E), \psi(F))$$

$M$  espace métrique

$\phi : E \rightarrow M$  isométrie

$\psi : F \rightarrow M$  isométrie

## Distance de Gromov-Hausdorff

Distance de Hausdorff entre  $X, Y$  compacts de  $(E, d)$  :

$$d_H(X, Y) = \max\left\{\sup_{x \in X} \inf_{y \in Y} d(x, y), \sup_{y \in Y} \inf_{x \in X} d(x, y)\right\}$$

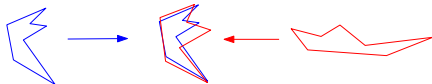
Distance de *Gromov-Hausdorff* entre  $E$  et  $F$  métriques compacts :

$$d_{GH}(E, F) = \inf_M d_H(\phi(E), \psi(F))$$

$M$  espace métrique

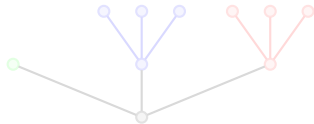
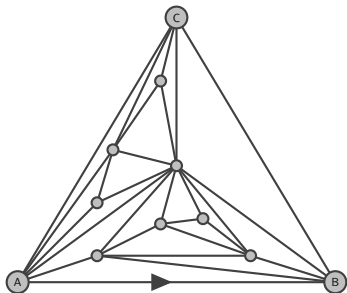
$\phi : E \rightarrow M$  isométrie

$\psi : F \rightarrow M$  isométrie

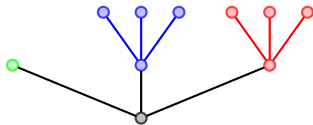
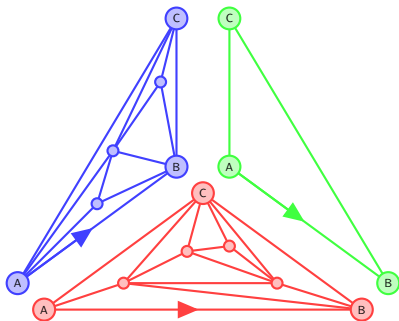


L'ensemble des classes d'isométrie d'espaces métriques compacts muni de la distance  $d_{GH}$  est un espace polonais.

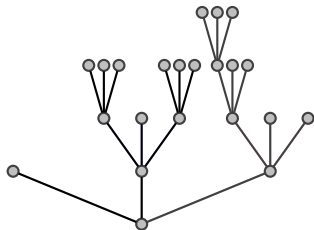
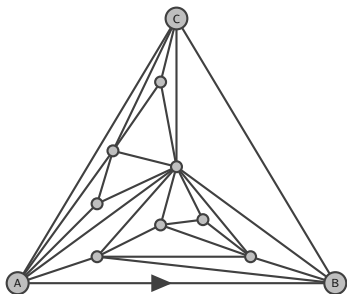
# Triangulations et arbres ternaires



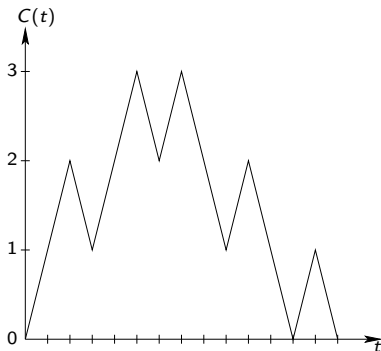
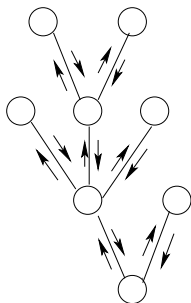
# Triangulations et arbres ternaires



# Triangulations et arbres ternaires

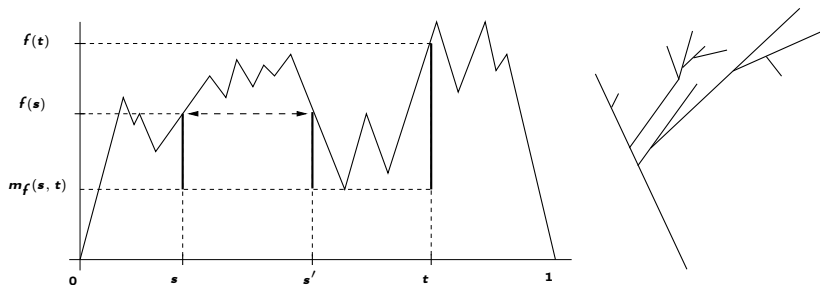


# Contour d'un arbre



## Arbre continu

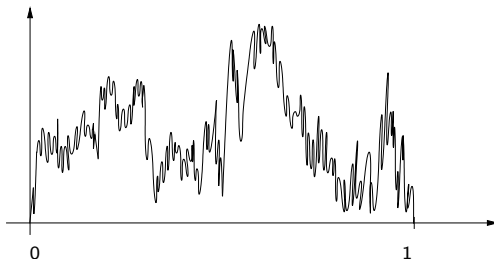
$f$  une fonction de  $[0, 1]$  dans  $\mathbb{R}^+$  telle que  $f(0) = f(1) = 0$ .



- $s \sim s'$  si et seulement si  $f(s) = f(s') = m_f(s, s')$
- arbre continu =  $[0, 1] / \sim$
- distance :  $d_f(s, t) = f(s) + f(t) - 2m_f(s, t)$

## Arbre continu d'Aldous – CRT

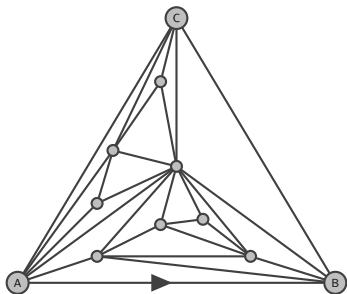
L'excursion brownienne renormalisée  $\mathbf{e} = (\mathbf{e}_t)_{t \in [0,1]}$  est un mouvement brownien conditionné à vérifier  $\mathcal{B}_0 = 0$ ,  $\mathcal{B}_1 = 0$  et  $\mathcal{B}(t) > 0$  pour tout  $t \in ]0, 1[$ .



L'arbre continu d'Aldous est un arbre continu aléatoire défini à partir d'une excursion brownienne renormalisée.

On le note  $(\mathcal{T}_{2\mathbf{e}}, d_{2\mathbf{e}})$ .

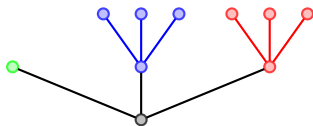
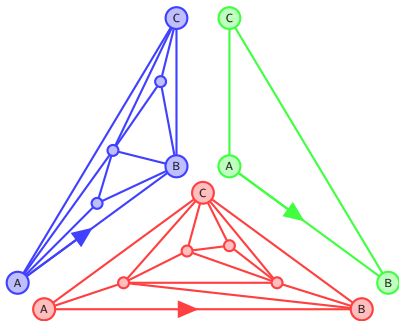
# Triangulations et arbres ternaires



[Darasse et Soria, 07]

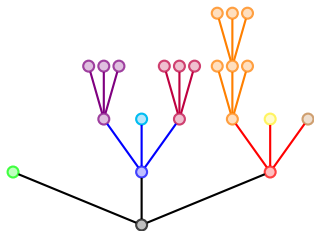
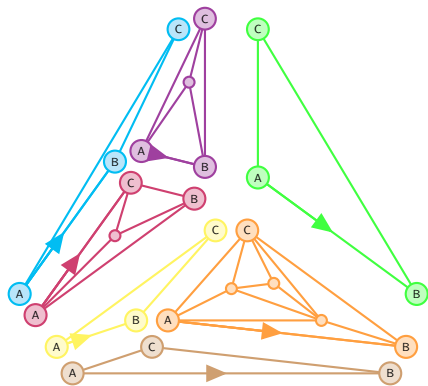


# Triangulations et arbres ternaires



[Darasse et Soria, 07]

# Triangulations et arbres ternaires



[Darasse et Soria, 07]

# Lien arbres et Cartes

## Proposition

Pour tout  $K \geq 1$  il existe une bijection

$$\begin{aligned} \Psi_K^\Delta : \Delta_{2K} &\longrightarrow \mathcal{T}_{3K-2}^{\text{ter}} \\ m &\longmapsto t := \Psi_K^\Delta(m) \end{aligned}$$

(i) Pour tout noeud interne  $u$  de  $m$ ,  $|\Gamma(u') - d_m(\text{root}, u)| \leq 1$ .

(ii) Pour tous noeuds internes  $u$  et  $v$  de  $m$

$$|d_m(u, v) - \Gamma(u', v')| \leq 3.$$

Qui est  $\Gamma$  ?

# Lien arbres et Cartes

## Proposition

Pour tout  $K \geq 1$  il existe une bijection

$$\begin{aligned} \Psi_K^\Delta : \Delta_{2K} &\longrightarrow \mathcal{T}_{3K-2}^{\text{ter}} \\ m &\longmapsto t := \Psi_K^\Delta(m) \end{aligned}$$

(i) Pour tout noeud interne  $u$  de  $m$ ,  $|\Gamma(u') - d_m(\text{root}, u)| \leq 1$ .

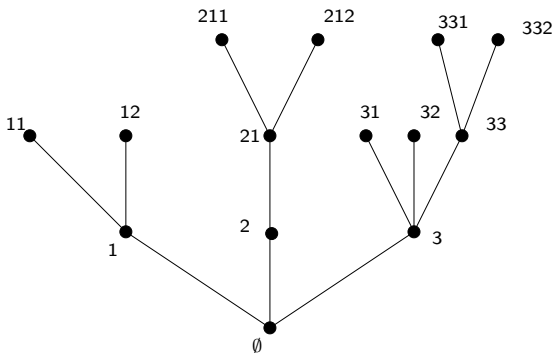
(ii) Pour tous noeuds internes  $u$  et  $v$  de  $m$

$$|d_m(u, v) - \Gamma(u', v')| \leq 3.$$

Qui est  $\Gamma$  ?

## Formalisme de Neveu sur les arbres

- Un arbre ternaire  $t$  est vu comme un ensemble de mots sur l'alphabet  $\{1, 2, 3\}$ .
- On assimile un sommet avec le mot qui le représente.



## Un langage pour les distances

$\mathcal{L}_{1,2,3} = \{ \text{mots de } \{1, 2, 3\}^* \text{ où apparaissent au moins une fois } 1, 2 \text{ et } 3 \}$

Pour  $u \in \{1, 2, 3\}^*$ ,

$\Gamma(u) = \max\{k \text{ tel que } u = u_1 \dots u_k, u_i \in \mathcal{L}_{1,2,3} \text{ pour } i \in \{1, 2, 3\}\}$

$$u = 122132132212232 \quad \Rightarrow \quad \Gamma(u) = 3.$$

Soient  $u = w \cdot u_1 \dots u_k$  et  $v = w \cdot v_1 \dots v_l$  avec  $u_1 \neq v_1$ , on note :

$$\Gamma(u, v) = \Gamma(u_1 \dots u_k) + \Gamma(v_1 \dots v_l)$$

## Un langage pour les distances

$\mathcal{L}_{1,2,3} = \{ \text{mots de } \{1, 2, 3\}^* \text{ où apparaissent au moins une fois 1, 2 et 3} \}$

Pour  $u \in \{1, 2, 3\}^*$ ,

$\Gamma(u) = \max\{k \text{ tel que } u = u_1 \dots u_k, u_i \in \mathcal{L}_{1,2,3} \text{ pour } i \in \{1, 2, 3\}\}$

$$u = 122132132212232 \quad \Rightarrow \quad \Gamma(u) = 3.$$

Soient  $u = w \cdot u_1 \dots u_k$  et  $v = w \cdot v_1 \dots v_l$  avec  $u_1 \neq v_1$ , on note :

$$\Gamma(u, v) = \Gamma(u_1 \dots u_k) + \Gamma(v_1 \dots v_l)$$

## Un langage pour les distances

$\mathcal{L}_{1,2,3} = \{ \text{mots de } \{1, 2, 3\}^* \text{ où apparaissent au moins une fois } 1, 2 \text{ et } 3 \}$

Pour  $u \in \{1, 2, 3\}^*$ ,

$\Gamma(u) = \max\{k \text{ tel que } u = u_1 \dots u_k, u_i \in \mathcal{L}_{1,2,3} \text{ pour } i \in \{1, 2, 3\}\}$

$$u = 12213 \cdot 213 \cdot 2212232 \quad \Rightarrow \quad \Gamma(u) = 3.$$

Soient  $u = w \cdot u_1 \dots u_k$  et  $v = w \cdot v_1 \dots v_l$  avec  $u_1 \neq v_1$ , on note :

$$\Gamma(u, v) = \Gamma(u_1 \dots u_k) + \Gamma(v_1 \dots v_l)$$

## Un langage pour les distances

$\mathcal{L}_{1,2,3} = \{ \text{mots de } \{1, 2, 3\}^* \text{ où apparaissent au moins une fois } 1, 2 \text{ et } 3 \}$

Pour  $u \in \{1, 2, 3\}^*$ ,

$\Gamma(u) = \max\{k \text{ tel que } u = u_1 \dots u_k, u_i \in \mathcal{L}_{1,2,3} \text{ pour } i \in \{1, 2, 3\}\}$

$$u = 12213 \cdot 213 \cdot 2212232 \quad \Rightarrow \quad \Gamma(u) = 3.$$

Soient  $u = w \cdot u_1 \dots u_k$  et  $v = w \cdot v_1 \dots v_l$  avec  $u_1 \neq v_1$ , on note :

$$\Gamma(u, v) = \Gamma(u_1 \dots u_k) + \Gamma(v_1 \dots v_l)$$

## Un langage pour les distances

$\mathcal{L}_{1,2,3} = \{ \text{mots de } \{1, 2, 3\}^* \text{ où apparaissent au moins une fois 1, 2 et 3} \}$

Pour  $u \in \{1, 2, 3\}^*$ ,

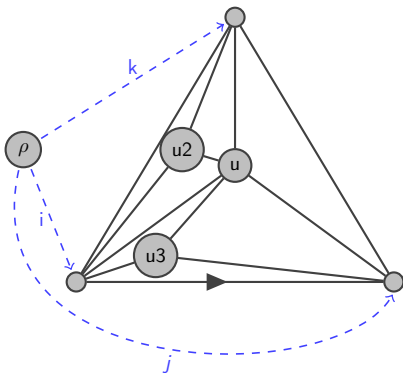
$\Gamma(u) = \max\{k \text{ tel que } u = u_1 \dots u_k, u_i \in \mathcal{L}_{1,2,3} \text{ pour } i \in \{1, 2, 3\}\}$

$$u = 12213 \cdot 213 \cdot 2212232 \quad \Rightarrow \quad \Gamma(u) = 3.$$

Soient  $u = w \cdot u_1 \dots u_k$  et  $v = w \cdot v_1 \dots v_l$  avec  $u_1 \neq v_1$ , on note :

$$\Gamma(u, v) = \Gamma(u_1 \dots u_k) + \Gamma(v_1 \dots v_l)$$

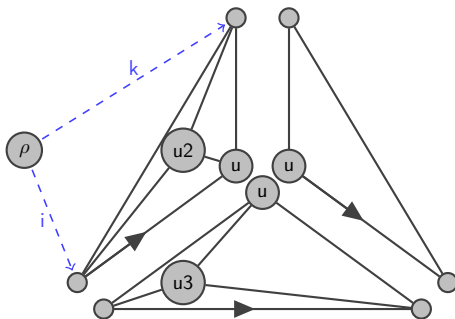
## Type d'une face et d'un noeud



Si  $\text{type}(u) = (i, j, k)$ ,

$$\begin{cases} \text{type}(u1) = ( 1 + i \wedge j \wedge k, & j, & k ) \\ \text{type}(u2) = ( i, & 1 + i \wedge j \wedge k, & k ) \\ \text{type}(u3) = ( i, & j, & 1 + i \wedge j \wedge k ) \end{cases}$$

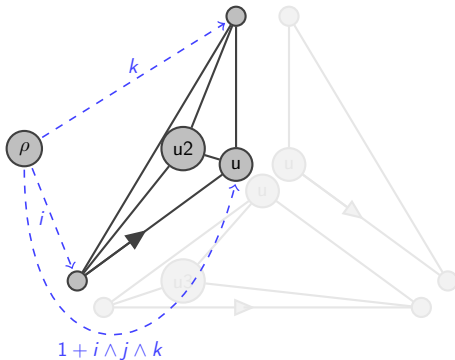
## Type d'une face et d'un noeud



Si  $\text{type}(u) = (i, j, k)$ ,

$$\begin{cases} \text{type}(u1) = ( 1 + i \wedge j \wedge k, & j, & k ) \\ \text{type}(u2) = ( i, & 1 + i \wedge j \wedge k, & k ) \\ \text{type}(u3) = ( i, & j, & 1 + i \wedge j \wedge k ) \end{cases}$$

## Type d'une face et d'un noeud



Si  $\text{type}(u) = (i, j, k)$ ,

$$\begin{cases} \text{type}(u1) = ( & 1 + i \wedge j \wedge k, & j, & k ) \\ \text{type}(u2) = ( & i, & 1 + i \wedge j \wedge k, & k ) \\ \text{type}(u3) = ( & i, & j, & 1 + i \wedge j \wedge k ) \end{cases}$$

## Convergence des triangulations en pile

### Lemme

Soit  $(X_i)_{i \geq 1}$  une suite de variables aléatoires indépendantes uniformes sur  $\{1, 2, 3\}$ . Soit  $W_n$  le mot  $X_1 \dots X_n$ , on a

$$\frac{\Gamma(W_n)}{n} \xrightarrow[n]{(a.s.)} \Gamma_{\Delta}, \text{ où } \Gamma_{\Delta} = 2/11$$

Distance dans la carte et distance dans l'arbre :

$$|d_{m_n}(u, v) - \Gamma(u', v')| \leq 3$$

On montre :

$$P\left(\sup |d_{m_n}(u, v) - \frac{2}{11} d_{T_n}(u', v')| \geq n^{1/3}\right) \xrightarrow[n \rightarrow \infty]{} 0$$

## Convergence des triangulations en pile

### Lemme

Soit  $(X_i)_{i \geq 1}$  une suite de variables aléatoires indépendantes uniformes sur  $\{1, 2, 3\}$ . Soit  $W_n$  le mot  $X_1 \dots X_n$ , on a

$$\frac{\Gamma(W_n)}{n} \xrightarrow[n]{(a.s.)} \Gamma_{\Delta}, \text{ où } \Gamma_{\Delta} = 2/11$$

Distance dans la carte et distance dans l'arbre :

$$|d_{m_n}(u, v) - \Gamma(u', v')| \leq 3$$

On montre :

$$P\left(\sup |d_{m_n}(u, v) - \frac{2}{11} d_{T_n}(u', v')| \geq n^{1/3}\right) \xrightarrow[n \rightarrow \infty]{} 0$$

## Convergence des triangulations en pile

### Lemme

Soit  $(X_i)_{i \geq 1}$  une suite de variables aléatoires indépendantes uniformes sur  $\{1, 2, 3\}$ . Soit  $W_n$  le mot  $X_1 \dots X_n$ , on a

$$\frac{\Gamma(W_n)}{n} \xrightarrow[n]{(a.s.)} \Gamma_{\Delta}, \text{ où } \Gamma_{\Delta} = 2/11$$

Distance dans la carte et distance dans l'arbre :

$$|d_{m_n}(u, v) - \Gamma(u', v')| \leq 3$$

On montre :

$$P\left(\sup |d_{m_n}(u, v) - \frac{2}{11} d_{T_n}(u', v')| \geq n^{1/3}\right) \xrightarrow[n \rightarrow \infty]{} 0$$

Ordre lexicographique sur l'arbre  $\Rightarrow$  ordre sur les noeuds internes de la carte.

On note  $d_m(k, j)$  la distance entre le  $k$ -ème et le  $j$ -ème noeud de  $m$ .

On interpole ensuite  $d_m$  de manière continue.

## Théorème

*Sous la loi uniforme sur  $\Delta_{2n}$ , on a*

$$\left( \frac{d_{m_n}(ns, nt)}{\Gamma_{\Delta} \sqrt{3n/2}} \right)_{(s,t) \in [0,1]^2} \xrightarrow[n]{(d)} (d_{2e}(s, t))_{(s,t) \in [0,1]^2},$$

*où la convergence a lieu dans  $C[0, 1]^2$ , l'espace des fonctions continues de  $[0, 1]^2$  dans  $\mathbb{R}$  muni de la topologie de la convergence uniforme.*

# Convergence des triangulations renormalisées

## Théorème (A., Marckert '08)

Sous  $\mathbb{U}_{2n}^\Delta$ ,

$$\left( m_n, \frac{D_{m_n}}{\Gamma_\Delta \sqrt{3n/2}} \right) \xrightarrow[n]{(d)} (\mathcal{T}_{2e}, d_{2e}),$$

*pour la topologie de Gromov-Hausdorff sur les espaces métriques compacts.*

	Triangulations en pile		Quadrangulations loi uniforme
	loi uniforme	loi historique	
Convergence locale	cvg en loi vers 1 loi portée par des triangulations infinies	Pas de convergence	Angel-Schramm, 03 Chassaing-Durhuss, 06
Convergence renormalisée	cvg en loi pour la topologie de Gromov-Hausdorff vers le CRT normalisation = $\sqrt{n}$		Chassaing-Schaeffer, 04 Marckert-Mokkadem, 06 Le Gall, 07 Le Gall-Paulin, 08

# Convergence des triangulations sous $\mathbb{H}^\Delta$

## Théorème

Soit  $M_n$  une triangulation en pile sous la loi  $\mathbb{H}_{2n}^\Delta$ . Soit  $k \in \mathbb{N}$  et  $\mathbf{v}_1, \dots, \mathbf{v}_k$ ,  $k$  noeuds de  $M_n$  choisis indépendamment et uniformément parmi les noeuds internes de  $M_n$ . On a

$$\left( \frac{D_{M_n}(\mathbf{v}_i, \mathbf{v}_j)}{3\Gamma_\Delta \log n} \right)_{(i,j) \in \{1, \dots, k\}^2} \xrightarrow[n]{\text{proba.}} (1_{i \neq j})_{(i,j) \in \{1, \dots, k\}^2}.$$

Etude des arbres sous la loi historique ...

# Convergence des triangulations sous $\mathbb{H}^\Delta$

## Théorème

Soit  $M_n$  une triangulation en pile sous la loi  $\mathbb{H}_{2n}^\Delta$ . Soit  $k \in \mathbb{N}$  et  $\mathbf{v}_1, \dots, \mathbf{v}_k$ ,  $k$  noeuds de  $M_n$  choisis indépendamment et uniformément parmi les noeuds internes de  $M_n$ . On a

$$\left( \frac{D_{M_n}(\mathbf{v}_i, \mathbf{v}_j)}{3\Gamma_\Delta \log n} \right)_{(i,j) \in \{1, \dots, k\}^2} \xrightarrow[n]{\text{proba.}} (1_{i \neq j})_{(i,j) \in \{1, \dots, k\}^2}.$$

Etude des arbres sous la loi historique ...

Convergence des arbres sous  $\mathbb{Q}_{3n-2}^{\text{ter}}$ 

$\mathbb{Q}_{3n-2}^{\text{ter}}$  = loi historique sur les arbres ternaires de taille  $3n - 2$ .

## Proposition

Soit  $\mathbf{t}$  un arbre aléatoire sous  $\mathbb{Q}_{3n-2}^{\text{ter}}$  et  $\mathbf{u}$  choisi uniformément parmi les noeuds internes de  $\mathbf{t}$ .

$$\left(\frac{3}{2} \log n\right)^{-1/2} \left(|\mathbf{u}| - \frac{3}{2} \log n\right) \xrightarrow[n]{(d)} N$$

où  $N$  suit une loi gaussienne centrée de variance 1

## Convergence des arbres sous $\mathbb{Q}_{3n-2}^{\text{ter}}$ – suite

### Proposition

Soit  $\mathbf{t}$  un arbre aléatoire sous  $\mathbb{Q}_{3n-2}^{\text{ter}}$  et  $\mathbf{u}$  et  $\mathbf{v}$  deux variables aléatoires i.i.d uniformes sur l'ensemble des noeuds internes de  $\mathbf{t}$ .

Soit  $\mathbf{w} = \mathbf{u} \wedge \mathbf{v}$ .

1) On a  $(\frac{3}{2} \log n)^{-1/2} (|\mathbf{u}| - \frac{3}{2} \log n, |\mathbf{v}| - \frac{3}{2} \log n) \xrightarrow[n]{(d)} (N_1, N_2)$  où

$N_1$  et  $N_2$  sont deux variables aléatoires indépendantes de loi gaussienne centrée de variance 1.

2) Soit  $\mathbf{a}, \mathbf{b} \in \{1, 2, 3\}$ , avec  $\mathbf{a} \neq \mathbf{b}$  et  $\mathbf{u}^*, \mathbf{v}^*$  définis par

$$\mathbf{u} = \mathbf{wau}^* \text{ et } \mathbf{v} = \mathbf{wbv}^*.$$

Conditionnellement à leur longueur,  $\mathbf{u}^*$  et  $\mathbf{v}^*$  sont des mots aléatoires indépendants qui comptent  $|\mathbf{u}^*|$  et  $|\mathbf{v}^*|$  lettres indépendantes et uniformément distribuées dans  $\{1, 2, 3\}$ .

## Convergence locale des triangulations en pile

- Sous  $\mathbb{U}_{2n}^\Delta$  :

### Théorème (A., Marckert '08)

*La suite  $(\mathbb{U}_{2n}^\Delta)$  converge faiblement vers  $P_\infty^\Delta$  pour la topologie de la convergence locale, lorsque  $n$  tend vers l'infini, où  $P_\infty^\Delta$  est une loi portée par les triangulations infinies.*

Ingrédients :

Convergence locale d'arbres de Galton-Watson,

Définition d'une carte infinie à la « Angel-Schramm »

- Sous  $\mathbb{H}_{2n}^\Delta$  :

Le degré de la racine tend vers l'infini,

⇒ Pas de convergence locale.

## Convergence locale des triangulations en pile

- Sous  $\mathbb{U}_{2n}^\Delta$  :

### Théorème (A., Marckert '08)

*La suite  $(\mathbb{U}_{2n}^\Delta)$  converge faiblement vers  $P_\infty^\Delta$  pour la topologie de la convergence locale, lorsque  $n$  tend vers l'infini, où  $P_\infty^\Delta$  est une loi portée par les triangulations infinies.*

Ingrédients :

Convergence locale d'arbres de Galton-Watson,

Définition d'une carte infinie à la « Angel-Schramm »

- Sous  $\mathbb{H}_{2n}^\Delta$  :

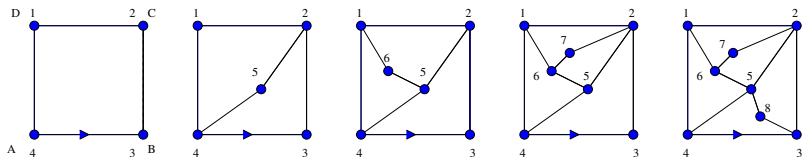
Le degré de la racine tend vers l'infini,

⇒ Pas de convergence locale.

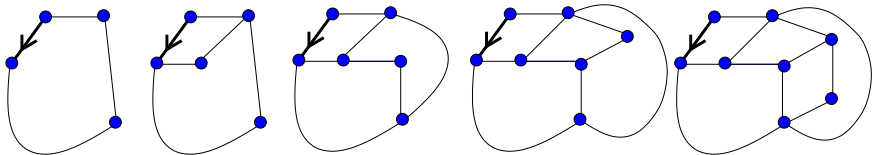
	Triangulations en pile		Quadrangulations loi uniforme
	loi uniforme	loi historique	
Convergence locale	cvg en loi vers 1 loi portée par des triangulations infinies	Pas de convergence	Angel-Schramm. 03 Chassaing-Durhuss, 06
Convergence renormalisée	cvg en loi pour la topologie de Gromov-Hausdorff vers le CRT normalisation = $\sqrt{n}$	cvg des lois fini-dimensionnelles normalisation = $\log n$	Chassaing-Schaeffer, 04 Marckert-Mokkadem, 06 Le Gall, 07 Le Gall-Paulin, 08

## Modèle de quadrangulations en pile

On arrive à traiter le cas où seul un choix d'arêtes est permis.



Le cas général résiste...



Autres modèles de cartes construits récursivement à étudier : angle d'attaque pour le cas des quadrangulations générales.

Merci !